

# Определение потенциала скорости жидкости со слабонесферическими пузырьками, находящимися на одной прямой<sup>1</sup>

Аганин А.А., Давлетшин А.И.

Институт механики и машиностроения Казанского научного центра РАН, Казань

Исследуется работоспособность метода отражений и метода разложения по сферическим функциям при определении потенциала скорости жидкости с двумя и более слабонесферическими пузырьками. Центры пузырьков находятся на одной прямой, которая является осью симметрии задачи.

## 1. Введение

Интерес к изучению динамики газовых пузырьков в жидкости связан с широким использованием жидкостей в различных отраслях народного хозяйства: энергетике, химии, медицине и др. При больших концентрациях пузырьков значительную роль начинает играть их взаимодействие.

При изучении взаимодействия пузырьков в жидкости аналитико-численными методами возникает подзадача определения потенциала скорости жидкости. Обычно потенциал ищется в предположении, что пузырьки расположены относительно далеко друг от друга [1, 2]. В результате этого задача определения потенциала значительно упрощается. Исключение составляет лишь самый простой случай взаимодействия двух сферических пузырьков. Для этого случая имеется точное решение [3, 4], полученное методом отражений [5]. Оно справедливо при любых расстояниях между пузырьками, в том числе и при их касании (во всей области жидкости за исключением точки касания пузырьков). Сравнительно недавно в работе [6] была предложена математическая модель взаимодействия произвольного количества произвольно близко расположенных в одну линию слабонесферических пузырьков. Она основана на представлении потенциала скорости жидкости в виде ряда по сферическим функциям. Нетрудно заметить, что сходимость рядов по сферическим функциям по мере сближения пузырьков ухудшается. Поэтому реальная область применимости модели [6] по минимальному расстоянию между взаимодействующими пузырь-

ками ограничена возможностями современных компьютеров.

Настоящая работа посвящена исследованию работоспособности двух методов определения потенциала скорости (метода отражений [3, 4] и метода разложения по сферическим функциям [6, 7]) в задачах взаимодействия в жидкости двух и более слабонесферических пузырьков, расположенных на одной прямой. Для этого метод отражений обобщается на случай произвольного количества слабонесферических пузырьков, поверхности которых находятся в фазе перехода через сферу.

## 2. Математическая модель

### 2.1. Постановка задачи

В жидкости имеется  $K$  пузырьков с центрами на оси  $z$ , которая является осью симметрии задачи. Пузырьки могут радиально пульсировать, перемещаться в пространстве вдоль оси симметрии и испытывать малые осесимметричные деформации.

Потенциал скорости жидкости  $\Phi$  удовлетворяет уравнению Лапласа

$$\nabla^2 \Phi = 0$$

и граничному условию на поверхности каждого пузырька

$$\frac{\partial F_i}{\partial t} + \nabla \Phi \cdot \nabla F_i = 0, \quad (1)$$

где  $i = 1, 2, \dots, K$ ;  $F_i = 0$  — уравнение поверхности  $i$ -го пузырька;  $t$  — время.

В рассматриваемом в настоящей работе случае малых осесимметричных деформаций уравнение поверхности  $i$ -го пузырька можно записать в следующем виде

<sup>1</sup>Работа выполнена в рамках программы РАН и при поддержке РФФИ.

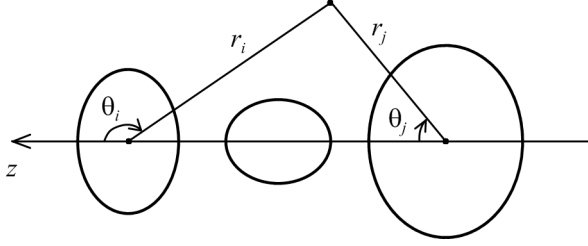


Рис. 1. Системы отсчета, применяемые при определении потенциала методом разложения по сферическим функциям

$$F(r_i, \theta_i, t) = r_i - R_i(t) - \sum_{n=2}^N a_{ni}(t) P_{ni} = 0, \quad (2)$$

где  $r_i, \theta_i$  — радиальная и широтная координаты сферической системы отсчета с началом в центре  $i$ -го пузырька (рис. 1);  $R_i$  — радиус пузырька;  $N$  — число гармоник, используемых в представлении поверхности пузырька;  $P_{ni} = P_n(\cos \theta_i)$  — полином Лежандра степени  $n$ ;  $a_{ni}$  — амплитуда отклонения поверхности  $i$ -го пузырька от сферической формы  $r_i = R_i$  в виде поверхностной гармоники  $P_{ni}$ . Относительную амплитуду отклонения  $\varepsilon_{ni} = a_{ni}/R_i$  будем называть также искажением сферической формы пузырька. В настоящей работе искажения сферической формы пузырьков  $\varepsilon_{ni}$  предполагаются малыми настолько, что степенями  $\varepsilon^2$  и выше по сравнению с 1 можно пренебречь ( $\varepsilon^2 \ll 1$ ), где  $\varepsilon = \max_{n,i} |\varepsilon_{ni}|$ .

## 2.2. Определение потенциала методом разложения по сферическим функциям

В методе разложения по сферическим функциям [6, 7] потенциал скорости жидкости  $\Phi$  в сферической системе координат  $i$ -го пузырька (рис. 1) представляется в следующем виде

$$\Phi(r_i, \theta_i, t) = \sum_{\gamma=0}^{\infty} \left[ \frac{B_{\gamma i}(t)}{r_i^{\gamma+1}} + \bar{B}_{\gamma i}(t) r_i^{\gamma} \right] P_{\gamma i}, \quad (3)$$

где

$$\bar{B}_{\gamma i} = \sum_{j=1, j \neq i}^K \sum_{\varsigma=0}^{\infty} \frac{C_{\varsigma \gamma} B_{\varsigma j}}{s_{ij} d_{ij}^{\varsigma+\gamma+1}},$$

$C_{\varsigma \gamma} = (-1)^{\gamma} (\gamma + \varsigma)! / (\gamma! \varsigma!)$ ,  $d_{ij} = z_i - z_j$ ,  $z_i$  — координата центра  $i$ -го пузырька,  $s_{ij} = 1$  при  $z_i > z_j$ ,  $s_{ij} = -1$  при  $z_i < z_j$ ,  $i, j = 1, 2, \dots, K$  ( $i \neq j$ ).

Подстановкой выражения поверхности пузырьков (2) и выражения потенциала (3) в граничные условия (1) получается система линейных алгебраических уравнений относительно коэффициентов потенциала  $B_{\gamma i}$ , которую с учетом того, что

$\varepsilon^2 \ll 1$ , можно записать в следующем виде

$$\begin{aligned} & \frac{B_{\gamma i}}{R_i^{\gamma+2}} [(\gamma+1) \delta_{\rho}^{\gamma} - \bar{\Theta}_{m\gamma\rho}^{\gamma+1, \gamma+2} \varepsilon_{mi}] \\ & - \bar{B}_{\gamma i} R_i^{\gamma-1} (\gamma \delta_{\rho}^{\gamma} + \bar{\Theta}_{m\gamma\rho}^{\gamma, \gamma-1} \varepsilon_{mi}) = \\ & = -\dot{R}_i (\delta_{\rho}^0 + \delta_{\rho}^m \varepsilon_{mi}) - \\ & - \dot{z}_i (\delta_{\rho}^1 - \beta_{1m\rho} \varepsilon_{mi}) - \delta_{\rho}^m R_i \dot{\varepsilon}_{mi}, \end{aligned} \quad (4)$$

где точка сверху означает дифференцирование по времени;  $\rho = 0, 1, \dots$ ;  $\delta_{\rho}^{\gamma}$  — символ Кронекера;  $\bar{\Theta}_{\gamma\varsigma\rho}^{n,m} = nm\alpha_{\gamma\varsigma\rho} - \beta_{\gamma\varsigma\rho}$ ;  $\beta_{\gamma\varsigma\rho} = 0.5 [\gamma(\gamma+1) + \varsigma(\varsigma+1) - \rho(\rho+1)] \alpha_{\gamma\varsigma\rho}$ ;  $\alpha_{\gamma\varsigma\rho} = \frac{2\rho+1}{2} \int_{-1}^1 P_{\gamma i} P_{\varsigma i} P_{\rho i} d \cos \theta_i$ .

Решение системы (4) ищется в виде суммы  $B_{\gamma i} = B_{\gamma i}^{(0)} + B_{\gamma i}^{(1)}$ , где  $B_{\gamma i}^{(0)}$  и  $B_{\gamma i}^{(1)}$  — нулевое и первое приближения относительно малого параметра  $\varepsilon$ . В силу того, что для любой пары пузырьков  $\delta = \max_{i,j} [(R_i + R_j) / d_{ij}] < 1$ , решения  $B_{\gamma i}^{(0)}$  и  $B_{\gamma i}^{(1)}$  довольно легко находятся методом последовательных приближений. Его применение приводит к следующим рекуррентным соотношениям:

$$\begin{aligned} & \bar{B}_{\rho i}^{(0,0)} = \bar{B}_{\rho i}^{(1,0)} = 0, \rho \geq 0; B_{\rho i}^{(0,0)} = 0, \rho \geq 2; \\ & \bar{B}_{\rho i}^{(0,k)} = B_{\rho i}^{(0,k)} = \bar{B}_{\rho i}^{(1,k)} = 0, \rho \geq k+1; \\ & B_{\rho i}^{(1,0)} = 0, \rho \geq N+2; B_{\rho i}^{(1,k)} = 0, \rho \geq N+k+1; \\ & B_{0i}^{(0,0)} = -R_i^2 \dot{R}_i; B_{1i}^{(0,0)} = -R_i^3 \dot{z}_i / 2; \\ & B_{\rho i}^{(1,0)} = -R_i^{\rho+2} \sum_{m=2}^N \left( \delta_{\rho}^m R_i \dot{\varepsilon}_{mi} + 3\delta_{\rho}^m \dot{R}_i \varepsilon_{mi} + \right. \\ & \left. + 1.5 \bar{\Theta}_{1m\rho}^{1,2} \dot{z}_i \varepsilon_{mi} \right) / (\rho+1), 0 \leq \rho \leq N+1; \\ & \bar{B}_{\rho i}^{(0,k)} = \sum_{j=1, j \neq i}^K \sum_{\gamma=0}^{k-1} \frac{C_{\gamma\rho} B_{\gamma j}^{(0,k-1)}}{s_{ij} d_{ij}^{\gamma+\rho+1}}, 0 \leq \rho \leq k; \\ & B_{\rho i}^{(0,k)} = \frac{\rho R_i^{2\rho+1}}{\rho+1} \bar{B}_{\rho i}^{(0,k)} - \\ & - \delta_{\rho}^0 R_i^2 \dot{R}_i - \frac{\delta_{\rho}^1 R_i^3 \dot{z}_i}{2}, 0 \leq \rho \leq k; \\ & \bar{B}_{\rho i}^{(1,k)} = \sum_{j=1, j \neq i}^K \sum_{\gamma=0}^{N+k-1} \frac{C_{\gamma\rho} B_{\gamma j}^{(1,k-1)}}{s_{ij} d_{ij}^{\gamma+\rho+1}}, 0 \leq \rho \leq k; \\ & B_{\rho i}^{(1,k)} = \frac{R_i^{\rho+2}}{\rho+1} \left\{ \rho R_i^{\rho-1} \bar{B}_{\rho i}^{(1,k)} - \sum_{m=2}^N \left[ \delta_{\rho}^m \dot{\varepsilon}_{mi} - \right. \right. \\ & \left. \left. - \dot{z}_i \varepsilon_{mi} \beta_{1m\rho} - \sum_{\gamma=0}^k \left( \frac{\bar{\Theta}_{m\gamma\rho}^{\gamma+1, \gamma+2} B_{\gamma i}^{(0,k)}}{R_i^{\gamma+2}} + \right. \right. \right. \\ & \left. \left. \left. + \bar{\Theta}_{m\gamma\rho}^{\gamma, \gamma-1} \bar{B}_{\gamma i}^{(0,k)} R_i^{\gamma-1} \right) \varepsilon_{mi} \right] \right\}, 0 \leq \rho \leq N+k; \end{aligned} \quad (5)$$

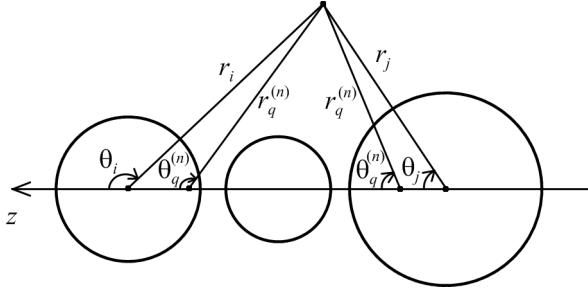


Рис. 2. Системы отсчета, применяемые при определении потенциала методом отражений

где  $k = 1, 2, \dots$ , первый верхний индекс в скобках означает номер приближения по параметру  $\varepsilon$ , а второй индекс — по параметру  $\delta$ .

### 2.3. Определение потенциала методом отражений

При использовании метода отражений потенциал определяется с помощью теоремы Вейса [8]. Данная теорема справедлива для сферических пузырьков. Однако ее можно использовать и в частном случае слабонесферических пузырьков: когда их поверхности находятся в фазе перехода через сферу ( $\varepsilon_{ni} = 0$ ,  $\dot{\varepsilon}_{ni} \neq 0$ ,  $n = 2, 3, \dots, N$ ,  $i = 1, 2, \dots, K$ ).

При использовании метода отражений потенциал ищется в виде

$$\Phi = \sum_{i=1}^K \sum_{k=0}^{\infty} \Phi_i^{(k)}. \quad (6)$$

Нулевое приближение потенциала определяется из решения задачи для одиночного слабонесферического пузырька, поверхность которого находится в сферической фазе

$$\Phi_i^{(0)} = \frac{A_0^{(0)}}{r_0^{(0)}} + \sum_{n=1}^N \frac{A_1^{(0)} P_1^{(0)}}{r_1^{(0)n+1}},$$

где

$$A_0^{(0)} = -R_i^2 \dot{R}_i, A_1^{(0)} = -\frac{\delta_n^1 R_i^3 \dot{z}_i}{2} - \sum_{m=2}^N \frac{\delta_n^m R_i^{n+3} \dot{\varepsilon}_{mi}}{n+1}.$$

Последующие приближения определяются с помощью вышеупомянутой теоремы [8] в следующем виде

$$\Phi_i^{(k)} = \sum_{\substack{j_k=1 \\ j_k \neq i}}^K \sum_{\substack{j_{k-1}=1 \\ j_{k-1} \neq j_k}}^K \dots \sum_{\substack{j_1=1 \\ j_1 \neq j_2}}^K \left( \int_0^{R_{j_2}^2/d_{j_2 j_1}} \frac{A_0^{(k)} P_0^{(k)}}{r_0^{(k)2}} dc + \right.$$

$$\left. + \sum_{n_1=1}^N \sum_{n_2=1}^{n_1} \dots \sum_{n_{k+1}=1}^{n_k} \frac{A_1^{(k)} P_1^{(k)}}{r_1^{(k)n_{k+1}+1}} \right), \quad (7)$$

где  $P_0^{(k)} = P_1(\cos \theta_0^{(k)})$ ,  $P_1^{(k)} = P_{n_{k+1}}(\cos \theta_1^{(k)})$ ,  $r_q^{(k)}$ ,  $\theta_q^{(k)}$  — радиальная и широтная координаты сферической системы с отсчетом  $r_q^{(k)}$  от точки  $z_q^{(k)}$  (рис. 2),  $z_q^{(k)} = z_i - c_q^{(k)}$ ,  $k = 1, 2, \dots$ ,  $q = 0, 1$ . Параметры с индексом  $q = 0$  соответствуют радиальным пульсациям пузырьков, а с индексом  $q = 1$  — их пространственным перемещениям.

Коэффициенты  $A_q^{(m)}$  находятся из следующих рекуррентных соотношений

$$A_0^{(0)} = -R_{j_1}^2 \dot{R}_{j_1}, A_0^{(1)} = -\frac{A_0^{(0)} c}{s_{j_2 j_1} R_{j_2}},$$

$$A_0^{(m)} = -\frac{A_0^{(m-1)} c_0^{(m)3}}{s_{j_{m+1} j_m} R_{j_{m+1}}^3},$$

$$A_1^{(0)} = -\frac{\delta_{n_1}^1 R_{j_1}^3 \dot{z}_{j_1}}{2} - \frac{\delta_{n_1}^m R_{j_1}^{n_1+3} \dot{\varepsilon}_{m j_1}}{n_1 + 1}, \quad (8)$$

$$A_1^{(1)} = \frac{(-1)^{n_2} n_2! a_{n_2} A_1^{(0)} c_1^{(1)n_1+n_2+1}}{s_{j_2 j_1} n_1! R_{j_2}^{2n_1+1}},$$

$$A_1^{(m)} = \frac{(-1)^{n_{m+1}} n_{m+1}! a_{n_{m+1}} A_1^{(m-1)} c_1^{(m)n_m+n_{m+1}+1}}{s_{j_{m+1} j_m} n_m! R_{j_{m+1}}^{2n_m+1}},$$

где  $m = 2, 3, \dots, k$ ,  $j_{k+1} = i$ ,  $c_0^{(1)} = c$ ,  $c_1^{(1)} = \frac{R_{j_2}^2}{d_{j_2 j_1}}$ ,  $c_q^{(m)} = \frac{R_{j_{m+1}}^2}{d_{j_{m+1} j_m} + c_q^{(m-1)}}$ ,  $a_1 = \frac{(n_m + 1)!}{2}$ ,  $a_n = \frac{(n_m + n)!}{(n-1)!(n+1)!} - \sum_{l=1}^{n-1} \frac{a_l}{(n-l)!}$ ,  $q = 0, 1$ ,  $n = 2, 3, \dots, n_m$ .

### 2.4. Взаимосвязь между выражениями двух методов

Коэффициенты, полученные двумя методами, можно связать следующими соотношениями

$$B_{0i} = A_0^{(0)},$$

$$B_{ni} = A_1^{(0)} + \sum_{k=1}^{\infty} \sum_{\substack{j_k=1 \\ j_k \neq i}}^K \sum_{\substack{j_{k-1}=1 \\ j_{k-1} \neq j_k}}^K \dots \sum_{\substack{j_1=1 \\ j_1 \neq j_2}}^K \left( D_{n1} I^{(k)} + \right.$$

$$\left. + \sum_{n_1=1}^N \sum_{n_2=1}^{n_1} \dots \sum_{n_{k+1}=1}^{n_k} D_{nn_{k+1}} A_1^{(k)} c_1^{(k)n-n_{k+1}} \right),$$

$$\bar{B}_{0i} = \sum_{\substack{j=1 \\ j \neq i}}^K \left[ \frac{A_0^{(0)}}{s_{ij} d_{ij}} + \sum_{n_1=1}^N \frac{A_1^{(0)}}{s_{ij} d_{ij}^{n_1+1}} - \right.$$

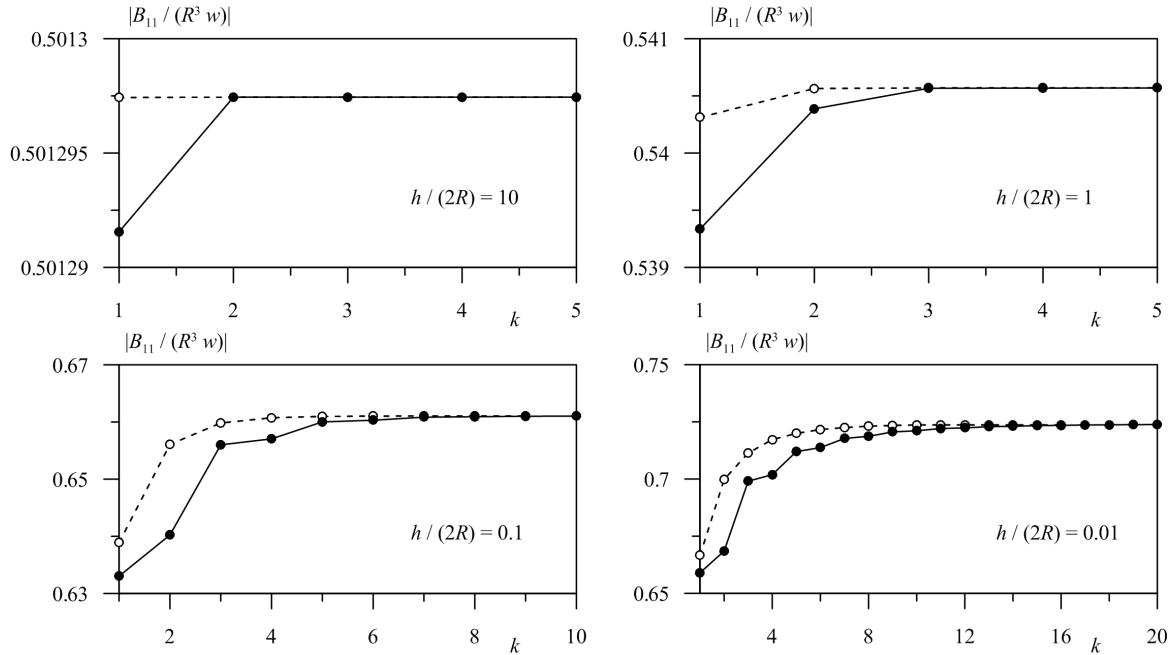


Рис. 3. Зависимости параметра  $|B_{11}/(R^3 w)|$  от числа итераций  $k$ , рассчитанные методом разложения по сферическим функциям (закрашенные кружочки, соединенные сплошными линиями) и методом отражений (незакрашенные кружочки, соединенные штриховыми линиями) при разных расстояниях между пузырьками

$$\begin{aligned}
 & - \sum_{k=1}^{\infty} \sum_{\substack{j_k=1 \\ j_k \neq j}}^K \dots \sum_{\substack{j_1=1 \\ j_1 \neq j_2}}^K \frac{1}{R_i} \left( I^{(k+1)} + \right. \\
 & \left. + \sum_{n_1=1}^N \sum_{n_2=1}^{n_1} \dots \sum_{n_{k+2}=1}^{n_{k+1}} \frac{A_1^{(k+1)}}{n_{k+2} c_1^{(k+1)n_{k+2}}} \right), \\
 \bar{B}_{ni} = & \sum_{\substack{j=1 \\ j \neq i}}^K \left[ \frac{C_{0n} A_0^{(0)}}{s_{ij} d_{ij}^{n+1}} + \sum_{n_1=1}^N \frac{C_{n_1 n} A_1^{(0)}}{s_{ij} d_{ij}^{n_1+n+1}} + \right. \\
 & \left. + \sum_{k=1}^{\infty} \sum_{\substack{j_k=1 \\ j_k \neq j}}^K \dots \sum_{\substack{j_1=1 \\ j_1 \neq j_2}}^K \frac{n+1}{n R_i^{2n+1}} \left( D_{n1} I^{(k+1)} + \right. \right. \\
 & \left. \left. + \sum_{n_1=1}^N \sum_{n_2=1}^{n_1} \dots \sum_{n_{k+2}=1}^{n_{k+1}} D_{nn_{k+2}} A_1^{(k+1)} c_1^{(k+1)n-n_{k+2}} \right) \right],
 \end{aligned}$$

где  $D_{nm} = (-1)^{n+m} n! / [m!(n-m)!]$ ,  $I^{(k)} = R_{j_2}^2 / d_{j_2 j_1}$

$$\int_0^1 A_0^{(k)} c_0^{(k)\gamma-1} dc.$$

### 3. Результаты расчетов

Для демонстрации работоспособности рассматриваемых методов нахождения потенциала используется задача о движении идеальной несжимаемой жидкости при наличии в ней трех одинаковых слабонесферических пузырьков радиуса  $R$  ( $R_1 = R_2 = R_3 = R$ ), центры которых расположены на одной

прямой (расстояние между соседними пузырьками одинаково). Предполагается, что поверхности пузырьков находятся в фазе перехода через сферу ( $\varepsilon_{n1} = \varepsilon_{n2} = \varepsilon_{n3} = 0, n \geq 2$ ), а скорости искажений по первым четырем гармоникам равны  $0.1 \text{ c}^{-1}$  ( $\dot{\varepsilon}_{n1} = \dot{\varepsilon}_{n2} = \dot{\varepsilon}_{n3} = 0.1 \text{ c}^{-1}, 2 \leq n \leq 5, \dot{\varepsilon}_{n1} = \dot{\varepsilon}_{n2} = \dot{\varepsilon}_{n3} = 0, n \geq 6$ ). Все пузырьки расширяются с одинаковой скоростью  $u$  ( $\dot{R}_1 = \dot{R}_2 = \dot{R}_3 = u$ ). Крайние пузырьки движутся к центральному со скоростью  $w$  ( $\dot{z}_1 = -w, \dot{z}_3 = w$ ), а центральный пузырек считается неподвижным ( $\dot{z}_2 = 0$ ).

На рис. 3 приводятся зависимости безразмерного параметра  $|B_{11}/(R^3 w)|$  от номера итерации  $k$ . Расчеты выполнены при  $u = w$  и  $h/(2R) = \{10, 1, 0.1, 0.01\}$ , где  $h$  — расстояние между поверхностями соседних пузырьков. Закрашенные кружочки, соединенные для удобства восприятия сплошной линией, получены с использованием метода разложения по сферическим функциям (3)–(5), а незакрашенные кружочки, соединенные штриховой линией, — методом отражений (6)–(8).

Из рис. 3 следует, что по мере увеличения числа итераций  $k$  во всех четырех рассмотренных случаях оба метода дают сходимость к одному и тому же результату. По мере уменьшения расстояния между пузырьками сходимость методов ухудшается.

#### 4. Заключение

Исследована работоспособность двух методов расчета потенциала скорости жидкости при наличии в ней нескольких пузырьков (пузырьки расположены на одной прямой): метода отражений [3, 4] и метода разложения по сферическим функциям [6, 7]. Метод отражений обобщен на случай произвольного количества слабонесферических пузырьков, поверхности которых находятся в сферической фазе.

Показано, что по мере увеличения числа итераций приближения методов отражений и разложения по сферическим функциям сходятся к одному и тому же результату.

#### Список литературы

- [1] Doinikov A.A. Translational motion of two interacting bubbles in a strong acoustic field // *Phys. Rev. E*. 2001. V. 64, № 2. 026301(6).
- [2] Ilinskii Y.A., Hamilton M.F., Zabolotskaya E.A. Bubble interaction dynamics in Lagrangian and Hamiltonian mechanics // *JASA*. 2007. V. 121, № 2. P. 786–795.
- [3] Воинов О.В. О движении двух сфер в идеальной жидкости // *ПММ*. 1969. Т. 33, № 4. С. 659–667.
- [4] Воинов О.В. Движение идеальной жидкости около двух сфер с радиальными скоростями на поверхности // *Вестник Московского университета*. 1969. № 5. С. 83–88.
- [5] Hicks W.M. On the motion of two spheres in a fluid // *Philosoph. Trans. Roy. Soc. of London*. 1880. V. 171. P. 455–492.
- [6] Давлетшин А.И. Математическое моделирование взаимодействия газовых пузырьков в жидкости в акустическом поле // *Дис. ... канд. физ.-мат. наук*. Казань. 2010.
- [7] Аганин А.А., Давлетшин А.И. Взаимодействие двух сферических газовых пузырьков в жидкости в акустическом поле // *Вестник Татарского государственного гуманитарно-педагогического университета*. 2011. № 3(25). С. 6–13.
- [8] Милн-Томсон Л.М. Теоретическая гидродинамика. Москва: Мир, 1964. 660 с.